



UNIVERSIDADE DE SÃO PAULO  
ESCOLA DE ENGENHARIA DE SÃO CARLOS

SEM0172 - Vibrações Mecânicas

*Projeto 2*

**Data:** 26/06/2024

João Vítor de Oliveira - 12611734

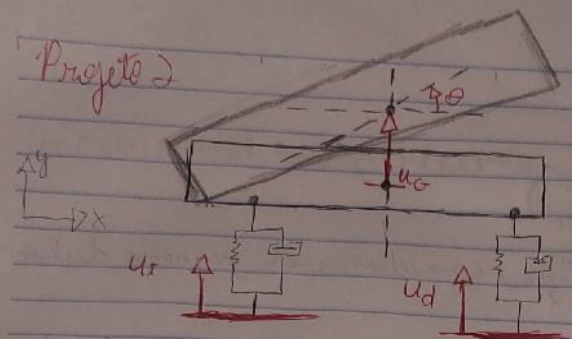
**Seções**

Equação do movimento para o sistema.....	2
Frequências naturais e modos de vibração.....	4
Resposta transitória (impulsiva) e em frequência (FRF) com excitação nas bases traseira ou dianteira .....	6
Respostas quando o veículo passa pela lombada.....	8
Conclusão.....	10

# Projeto - Simulação de resposta de sistemas de 1 GDL

## Equação do movimento para o sistema

**Projeto 2**



• Para desconstruir, só que consideramos o sistema a partir do equilíbrio, portanto em  $u_0 = 0$ , as molas estão indeformadas.

- soma de forças na vertical:

$$\sum F_y = M \ddot{u}_0$$

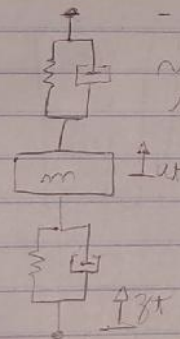
$$M \ddot{u}_0 = -K_2(u_0 + l_d \sin(\theta) - u_d) - K_1(u_0 - l_t \cos(\theta) - u_t) - c_2(\dot{u}_0 + l_d \dot{\theta} \cos(\theta) - \dot{u}_d) - c_1(\dot{u}_0 - l_t \dot{\theta} \cos(\theta) - \dot{u}_t)$$

- soma de momentos:

$$\sum M = I_G \ddot{\theta}$$

$$I_G \ddot{\theta} = -K_2 l_d (u_0 + l_d \sin(\theta) - u_d) + K_1 l_t (u_0 - l_t \cos(\theta) - u_t) - c_2 l_d (\dot{u}_0 + l_d \dot{\theta} \cos(\theta) - \dot{u}_d) + c_1 l_t (\dot{u}_0 - l_t \dot{\theta} \cos(\theta) - \dot{u}_t)$$

- Logo para os molas m, o sistema fica como abaixo, vale lembrar que para a mola m horizontal é o mesmo sistema.



$$\sum F = m \ddot{u}_x$$

$$m \ddot{u}_x = K_2(u_0 - l_t \cos(\theta) - u_t) + c_2(\dot{u}_0 - l_t \dot{\theta} \cos(\theta) - \dot{u}_t) - K_1(u_t - z_t) - c_1(\dot{u}_t - \dot{z}_t)$$

rigidez do pen | amortecimento do pen

Jandala

$$\Sigma F = m\ddot{u}_d$$

$$m\ddot{u}_d = K_2(u_g + l_d \sin(\theta) - u_d) + c_2(\dot{u}_g + l_d \dot{\theta} \cos(\theta) - \dot{u}_d) - K_1(u_d - z_d) - c_1(\dot{u}_d - \dot{z}_d)$$

- Logo, para o sistema, consideraremos pequenos deslocamentos:  $\sin(\theta) \approx \theta$  e  $\cos(\theta) \approx 1$

$$\begin{cases} M\ddot{u}_g = -K_2(u_g + l_d \theta - u_d) - K_2(u_g - l_r \theta - u_r) - c_2(\dot{u}_g + l_d \dot{\theta} - \dot{u}_d) - c_2(\dot{u}_g - l_r \dot{\theta} - \dot{u}_r) \\ I_g \ddot{\theta} = -K_2 l_d (u_g + l_d \theta - u_d) + K_2 l_r (u_g - l_r \theta - u_r) - c_2 l_d (\dot{u}_g + l_d \dot{\theta} - \dot{u}_d) + c_2 l_r (\dot{u}_g - l_r \dot{\theta} - \dot{u}_r) \\ m\ddot{u}_d = K_2(u_g + l_d \theta - u_d) + c_2(\dot{u}_g + l_d \dot{\theta} - \dot{u}_d) - K_1(u_d - z_d) - c_1(\dot{u}_d - \dot{z}_d) \\ m\ddot{u}_r = K_2(u_g - l_r \theta - u_r) + c_2(\dot{u}_g - l_r \dot{\theta} - \dot{u}_r) - K_1(u_r - z_r) - c_1(\dot{u}_r - \dot{z}_r) \end{cases}$$

- Reescrevendo na forma  $M\ddot{x} + C\dot{x} + Kx = F$ :

$$M\ddot{x} = \begin{bmatrix} M & 0 & 0 & 0 \\ 0 & I_g & 0 & 0 \\ 0 & 0 & m & 0 \\ 0 & 0 & 0 & m \end{bmatrix} \begin{bmatrix} \ddot{u}_g \\ \ddot{\theta} \\ \ddot{u}_d \\ \ddot{u}_r \end{bmatrix}$$

$$C\dot{x} = \begin{bmatrix} 2c_2 & c_2(l_d - l_r) & -c_2 & -c_2 \\ c_2(l_d - l_r) & c_2(l_d^2 + l_r^2) & -c_2 l_d & c_2 l_r \\ -c_2 & -c_2 l_d & c_1 + c_2 & 0 \\ -c_2 & c_2 l_r & 0 & c_1 + c_2 \end{bmatrix} \begin{bmatrix} \dot{u}_g \\ \dot{\theta} \\ \dot{u}_d \\ \dot{u}_r \end{bmatrix}$$

$$Kx = \begin{bmatrix} 2K_2 & K_2(l_d - l_r) & -K_2 & -K_2 \\ K_2(l_d - l_r) & K_2(l_d^2 + l_r^2) & -K_2 l_d & K_2 l_r \\ -K_2 & -K_2 l_d & K_1 + K_2 & 0 \\ -K_2 & K_2 l_r & 0 & K_1 + K_2 \end{bmatrix} \begin{bmatrix} u_g \\ \theta \\ u_d \\ u_r \end{bmatrix}$$

$$F = \begin{bmatrix} 0 & 0 \\ 0 & 0 \\ c_1 & 0 \\ 0 & c_1 \end{bmatrix} \begin{bmatrix} \dot{z}_d(t) \\ \dot{z}_r(t) \end{bmatrix} + \begin{bmatrix} 0 & 0 \\ 0 & 0 \\ K_1 & 0 \\ 0 & K_1 \end{bmatrix} \begin{bmatrix} z_d(t) \\ z_r(t) \end{bmatrix}$$

## Frequências naturais e modos de vibração

Tendo a modelagem do sistema e os parâmetros, a determinação das frequências naturais podem ser feita de forma fácil, utilizando a função eig no MATLAB para resolver o problema simplificado de autovalores ( $C \approx 0$ , de modo que  $\det(\omega^2 \mathbf{M} + \mathbf{K}) = 0$ ), obtêm-se as frequências naturais aproximadas e os modos de vibração correspondentes do sistema:

```
%% Parâmetros do modelo
L_d = 1.2; %dist. CG ao eixo dianteiro [m]
L_t = 0.8; %dist. CG ao eixo traseiro [m]
k_1 = 20000; %rigidez do pneu [N/m]
k_2 = 40000; %rigidez da suspensão [N/m]
c_1 = 5000; %amortecimento do pneu [Ns/m]
c_2 = 2000; %amortecimento da suspensão [Ns/m]
M = 1000; %massa do corpo do veículo [kg]
Ig = 200; %momento de inércia do corpo do veículo em rel. ao CG [kg m²]
m = 2; %massa não-suspensa [kg]
%% Matrizes do sist
%massa
M = [ M 0 0 0;
      0 Ig 0 0;
      0 0 m 0;
      0 0 0 m];

%amortecimento
C = [ 2*c_2 c_2*(L_d-L_t) -c_2 -c_2 ;
      c_2*(L_d-L_t) c_2*(L_d^2+L_t^2) -c_2*L_d c_2*L_t;
      -c_2 -c_2*L_d c_1+c_2 0 ;
      -c_2 c_2*L_t 0 c_1+c_2];

%rigidez
K = [ 2*k_2 k_2*(L_d-L_t) -k_2 -k_2 ;
      k_2*(L_d-L_t) k_2*(L_d^2+L_t^2) -k_2*L_d k_2*L_t;
      -k_2 -k_2*L_d k_1+k_2 0 ;
      -k_2 k_2*L_t 0 k_1+k_2];

%forçamento
F2= [ 0 0;
      0 0;
      c_1 0;
      0 c_1];

F1= [ 0 0;
      0 0;
      k_1 0;
      0 k_1];

%% Frequências naturais e respectivos modos de vibrar
[v,d]=eig(K,M); d=sqrt(diag(d));
```

```
omega=(d'); disp(omega)
```

```
5.0367    11.7738   173.3519   174.0148
```

E os modos de vibração podem ser encontrados da seguinte maneira:

Normalização com base na massa:

```
disp(v)
```

```
0.0314    -0.0033    0.0013    -0.0003  
-0.0074    -0.0700    -0.0003    -0.0068  
0.0150    -0.0585    -0.3652    0.6025  
0.0249    0.0353    -0.6048    -0.3638
```

```
vn1=diag(max(abs(v)))\v;
```

Normalização com base no máximo:

```
disp(vn1)
```

```
1.0000    -0.1049    0.0412    -0.0102  
-0.1057    -1.0000    -0.0044    -0.0970  
0.0249    -0.0967    -0.6037    0.9962  
0.0414    0.0586    -1.0038    -0.6037
```

A matriz é exibida de forma que a primeira coluna corresponde ao  $\phi_1$ , a segunda ao  $\phi_2$  e assim sucessivamente. Algumas análises podem ser feitas com esses valores:  $\phi_1$  tem o efeito de que o GDL é excitado fora de fase com o GDL. Os GDLs 2 e 3 são pouco excitados, em fase.  $\phi_2$  tem o efeito de o GDL 1 é excitado em fase com o GDL. Os GDLs 2 e 3 são pouco excitados, fora de fase.  $\phi_3$  tem o efeito de o GDL 1 é excitado em fase com o GDL. Os GDLs 2 e 3 são pouco excitados, fora de fase.  $\phi_4$  tem o efeito de o GDL 1 é excitado fora de fase com o GDL. Os GDLs 2 e 3 são pouco excitados, em fase.

E a matriz modal de amortecimento é dada por:

```
% Matriz de amortecimento modal  
D=2*0.2*(M*v*diag(d)*v'*M);  
Lambda=v'*D*v; zeta=(1/2)*diag(Lambda)./d;  
disp(Lambda)
```

```
2.0147    -0.0000    0.0000    0.0000  
-0.0000    4.7095    -0.0000    0.0000  
0.0000    0.0000   69.3407    -0.0000  
0.0000    0.0000   -0.0000   69.6059
```

```
% Espaço de estados  
c=eye(size(M));  
  
damping = D;  
A_ss1 = [zeros(size(M)) eye(size(M));  
        -M\K -M\damping];  
B_ss1 = [zeros(size(F1));  
        M\F1];  
C_ss1 = [c zeros(size(c));  
        zeros(size(c)) zeros(size(c))];
```

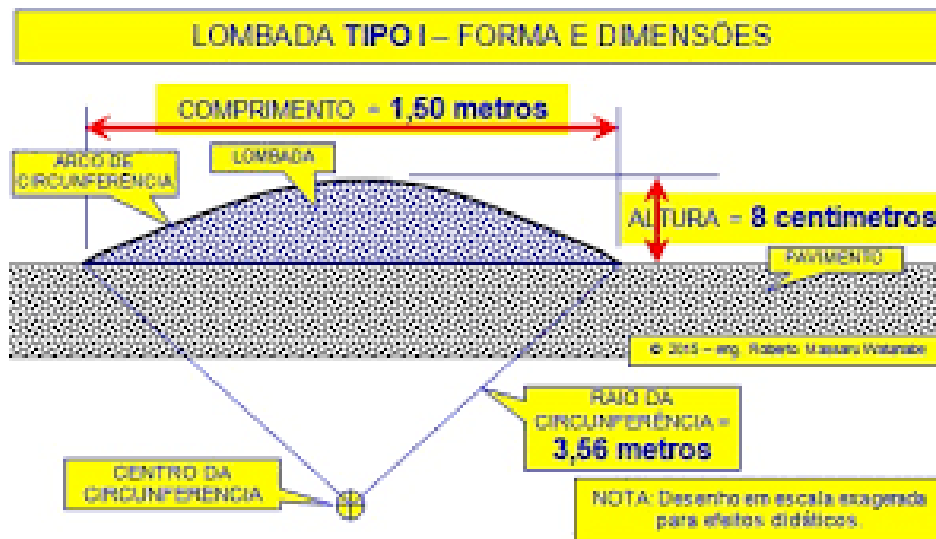


```
D_ss1 = [zeros(size(F2));
M\F2 ];
sys=ss(A_ss1,B_ss1,C_ss1,D_ss1);
```

## Resposta transitória (impulsiva) e em frequência (FRF) com excitação nas bases traseira ou dianteira

Para essa etapa será necessário modelar a pista e o movimento do veículo. A lombada foi modelada como no projeto anterior:

foi proposta uma amplitude de 0.08 metros e um comprimento de 1.5 m, conforme a imagem abaixo:



Já a pista, terá 100 metros de comprimento e o centro da lombada se encontrará em 5 metros da origem. Vale ressaltar que consideramos o veículo à 72km/h.

```
% Vetor tempo
ts = 4; %tempo [s]
dt = 0.001; %resol temporal [s]
time = linspace(0,ts,ts/dt); %vetor tempo [s]

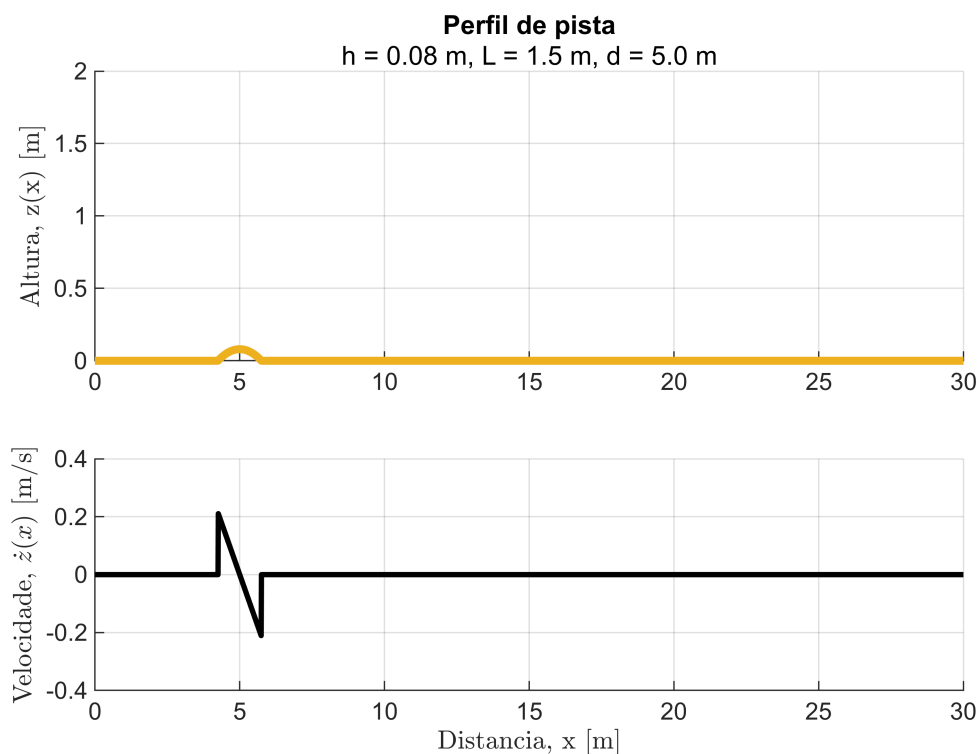
% Perfil de pista
res_espacial = 0.01; %resol espacial [m]
L_pista = 100; %comprimento da pista [m]
h_lombada = 0.08; %h da lombada [m]
L_lombada = 1.5; %comprimento da lombada [m]
dc = 5; %posição do centro da lombada na pista [m]
x_pista = 0:res_espacial:L_pista;
z_ref = zeros(1,length(x_pista));
vel_ref = zeros(1,length(x_pista));
for i=1:length(x_pista)
    z_lombada(i) = (4*h_lombada/L_lombada^2)*(-(x_pista(i)-dc)^2+(L_lombada/2)^2);
    vel_lombada(i) = -(8*h_lombada/L_lombada^2)*(x_pista(i)-dc);
    z_pista(i) = max([z_ref(i) z_lombada(i)]);
    if (x_pista(i) > (dc-0.5*L_lombada)) && (x_pista(i) < (dc+0.5*L_lombada))
        vel_pista(i) = vel_lombada(i);
    end
end
```

```

else
    vel_pista(i) = vel_ref(i);
end
end

%plotar pista
figure ()
t = tiledlayout(2,1,'tilspacing','compact');
nexttile
daspect([5 1 1])
hold on ; grid on
title('Perfil de pista',sprintf('h = %.2f m, L = %.1f m, d = %.1f m',h_lombada,L_lombada,dc));
ylabel('Altura, z(x) [m]','interpreter','latex')
plot(x_pista,z_pista,'linewidth',3,'color','#EDB120')
xlim([0 30])
ylim([0 2])
nexttile
daspect([10 1 1])
hold on ; grid on
ylabel('Velocidade,  $\dot{z}(x)$  [m/s]','interpreter','latex')
xlabel('Distancia, x [m]','interpreter','latex')
plot(x_pista,vel_pista,'linewidth',2,'color','k')
xlim([0 30])
ylim([-0.4 0.4])

```



```

%% Definição de inputs da lombada
v = 20; %velocidade do carro [m/s]

```

```

lon_pos_1 = v*time + L_t+L_d; %posição do eixo dianteiro [m]
lon_pos_2 = v*time; %posição do eixo traseiro [m]
u1 = interp1(x_pista,z_pista,lon_pos_1);
u2 = interp1(x_pista,z_pista,lon_pos_2);
u_vet = [u1' u2']; %input [m]

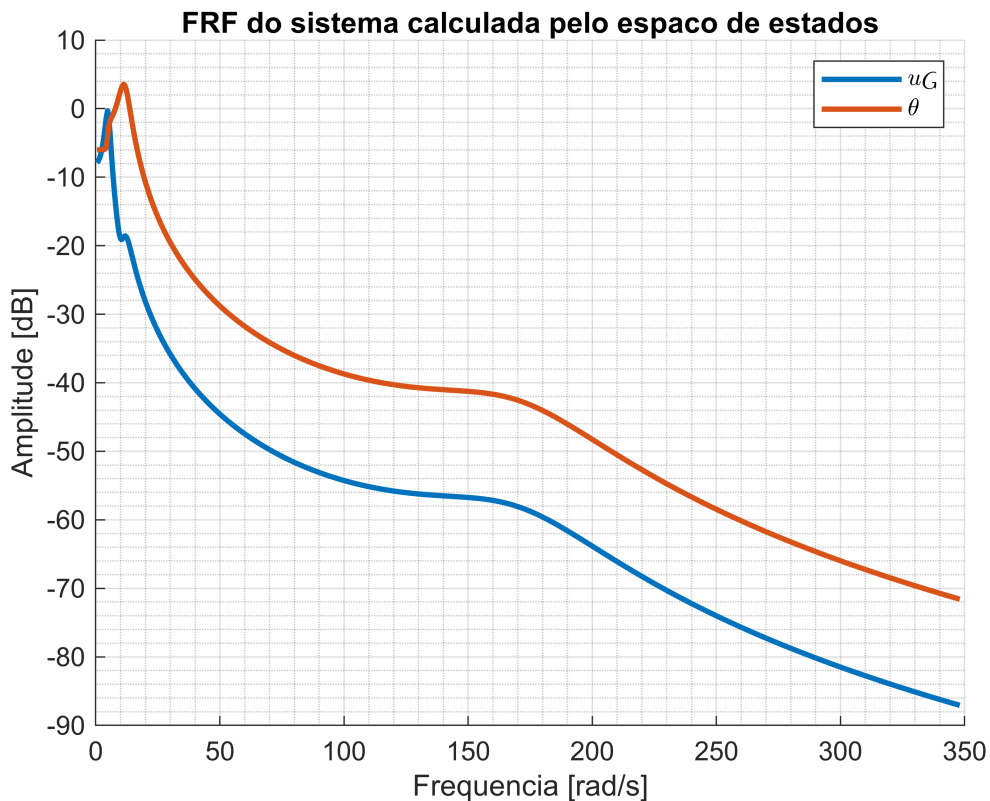
```

Encontraremos FRF, através do espaço de estados utilizando a função bode do Matlab:

```

%% FRF de  $u_G$  e  $\theta$  usando espaço de estados
om=[min(d)/10:.001:max(d)*2];
aH1=bode(sys(1,1),om); aH1=aH1(:);
aH2=bode(sys(2,1),om); aH2=aH2(:);
figure()
hold on ; grid on; grid minor
h1c=plot(om,db(aH1),'linewidth',2);
h2c=plot(om,db(aH2),'linewidth',2);
xlim([0 350.00])
ylim([-90 10])
xlabel('Frequencia [rad/s]'), ylabel('Amplitude [dB]'),
title('FRF do sistema calculada pelo espaço de estados')
legend('$u_G$', '$\theta$', 'interpreter', 'latex')

```



## Respostas quando o veículo passa pela lombada

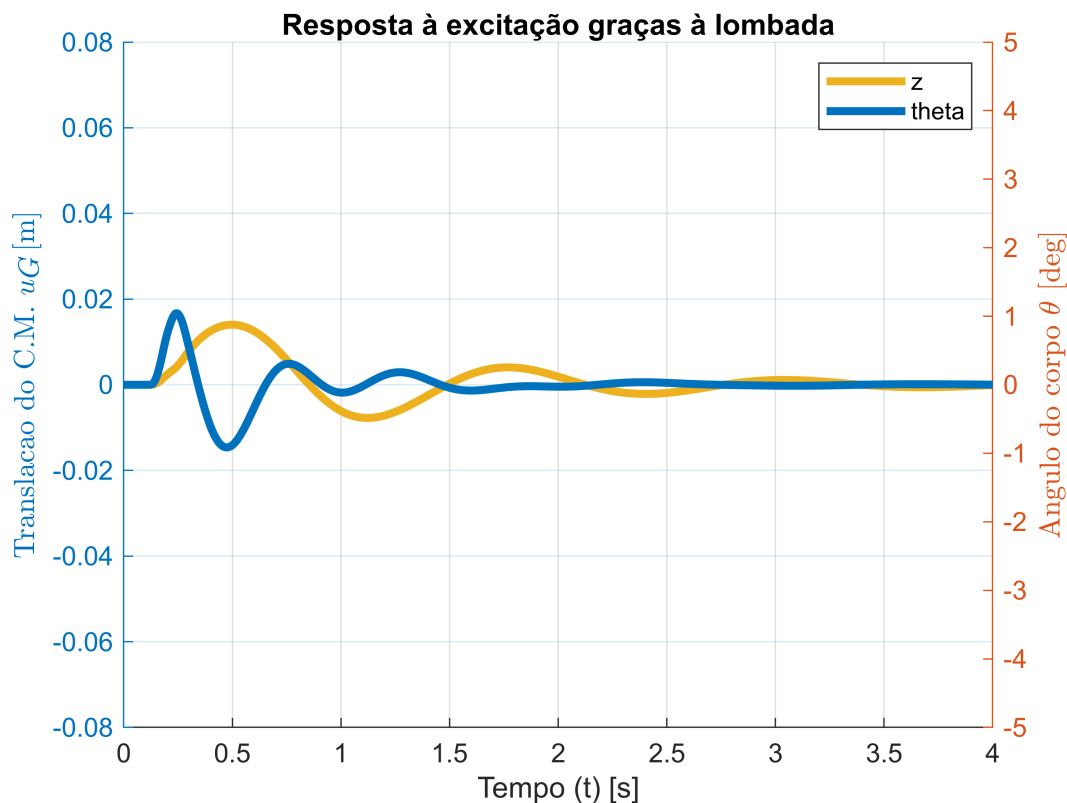
Agora a resposta à lombada no domínio do tempo para o  $u_g$  e  $\theta$  pode ser calculada usando a função lsim do Matlab:



```

%% Resposta à lombada no domínio do tempo
[y,time,x] = lsim(sys,u_vet,time);
uG = y(:,1); %translação vertical do CG [m]
theta = y(:,2); %inclinação do carro [rad]
ud = y(:,3); %deslocamento vertical da massa não-suspensa da dianteira [m]
ut = y(:,4); %deslocamento vertical da massa não-suspensa da traseira [m]
figure ()
title('Resposta à excitação graças à lombada')
hold on ; grid on
xlabel('Tempo (t) [s]')
yyaxis left
plot(time,uG,'linewidth',3,'Color','#EDB120')
ylabel('Translacao do C.M. $u_G$ [m]','interpreter','latex')
xlim([0 ts])
ylim([-h_lombada h_lombada])
yyaxis right
plot(time,theta*(180/pi),'linewidth',3,'color','#0072BD')
ylabel('Angulo do corpo $\theta$ [deg]','interpreter','latex')
legend('z','theta')
xlim([0 ts])
ylim([-5 5])

```



Nesse gráfico é interessante notar a defasagem entre a entrada de cada eixo na lombada (eixo dianteiro chegando na lombada em mais ou menos 0.25 segundos e o eixo traseiro mais ou menos em 0.45 segundos).

## Conclusão

Após os estudos utilizando o Matlab é notável que as simulações são imprescindíveis para um melhor estudo, entendimento e visualização do problema e da resposta do sistema ao distúrbio da pista. Vale notar que com a análise do último gráfico, é possível perceber que o sistema de suspensão deste veículo é bem efetivo, uma vez que a entrada tinha 8 centímetros de altura e a resposta do sistema foi abaixo dos 2 centímetros, mostrando sua capacidade de "absorver" essa entrada.